

ارائه‌ی یک مدل هیدرومکانیکی اصلاح شده جهت پیش‌بینی رفتار غیراشباع خاک‌های فروریزشی در شرایط مکش ساختاری ثابت و تنش خالص میانگین متغیر

سید محسن حائری * (استاد)

مجید ییگی (کارشناس ارشد)

سعید صابری (دانشجوی کارشناسی ارشد)

امیراکبری گوکانی (دکتری)

دانشکده‌ی هندسی عمران، دانشگاه صنعتی شریف

خاک لس در حالت خشک و یا در رطوبت طبیعی، مقاومت مناسب و نشست پذیری کم دارد، اما در صورتی که بارگذاری شود و رطوبت آن متناسب با بار وارده از حد مشخصی عبور کند، ساختار خاک به یک باره فرمی ریزد و شست ناگهانی زیادی در آن بخوبی تخریب سازه می‌شود. به منظور ارزیابی رفتار هیدرومکانیکی خاک‌های مذکور، تعدادی آزمایش بر روی نمونه‌های دست‌نخورده از خاک لس گرگان با استفاده از دستگاه سه‌محوری غیراشباع ارتقاء یافته در دانشگاه صنعتی شریف انجام شده است. تعدادی از آزمایش‌ها در شرایط اعمال مکش ساختاری ثابت و تنش خالص میانگین متغیر تعیین شده است. در نوشتار حاضر، نتایج حاصل از انجام برخی از آزمایش‌های مذکور با انجام شده است. در نوشتار حاضر، نتایج حاصل از شرایط غیراشباع ارزیابی و سپس یک تحلیل سه‌فازه و درنظر گرفتن پارامترهای خاک در شرایط غیراشباع ارزیابی و سپس با الهام از مقاهم کلاسیک مکانیک خاک‌های غیراشباع، یک مدل رفتاری اصلاح شده‌ی جدید که انطباق مناسبی با رفتار خاک‌های فروریزشی دارد، جهت پیش‌بینی رفتار خاک‌های مذکور ارائه شده است.

واژگان کلیدی: خاک فروریزشی، خاک لس، نمونه دست‌نخورده، دستگاه سه‌محوری غیراشباع، سطح تسییم - بارگذاری.

۱. مقدمه

- به طورکلی می‌توان ۴ شرط برای وقوع فروریزش در نوع خاک‌های مذکور منظور کرد:
۱. وجود ساختار باز، شرایط غیراشباع و تا حدودی ناپایدار.
 ۲. وجود مکش ساختاری کافی یا پیوندها و عوامل سیمانی کمترین دیگر برای ایجاد پایداری خاک در رطوبت طبیعی و نیمه‌خشک.
 ۳. افزایش درصد رطوبت خاک به نحوی که باعث کاهش مقاومت پیوندی یا سیمانی می‌شود و آنها را برای شکسته شدن و فروریختن تحت تنش مناسب آماده می‌کند.
 ۴. ایجاد تنش کمینه‌ی لازم جهت ایجاد شرایط ناپایدار.^[۱]

با توجه به عوامل ذکر شده، رفتار هیدرومکانیکی خاک مذکور باید در چارچوب مکانیک خاک‌های غیراشباع بررسی شود. وجود مناطق وسیعی از خاک‌های لسی

وجود خاک‌های فروریزشی نظری لس در هر ۵ قاره جهان گزارش شده است. لس‌ها مناطق وسیعی از آمریکا، اروپای شرقی، چین، جنوب شرقی آسیا، آسیای مرکزی و خاورمیانه را پوشانده‌اند. حضور خاک لس همچنین در آمریکای مرکزی و جنوبی، استرالیا، نیوزلند و آفریقای جنوبی گزارش شده است.^[۲] این نوع از خاک‌ها، خصوصیات فیزیکی مشابهی، از جمله: ساختار فیزیکی باز، تخلخل زیاد (بیش از ۴٪) و چگالی خشک کم هستند. همچنین از دیدگاه زمین‌شناسی، رسوبات جوانی هستند که فرصت کافی برای تراکم آنها در طبیعت وجود ندارد و رفتار آنها به شدت تحت تأثیر عوامل محیطی، از جمله: تغییرات درصد رطوبت در سطح تنش ثابت و یا تغییرات تنش در درصد رطوبت ثابت است.^[۳]

* نویسنده مسئول

تاریخ: دریافت ۱۶/۱۰/۱۳۹۴، اصلاحیه ۴/۲، پذیرش ۳۱/۰۵/۱۳۹۵.

DOI: 10.24200/J30.2018.1329

$$p_n = \frac{\sigma_1 + \sigma_2 + \sigma_3}{3} - u_a \quad (1)$$

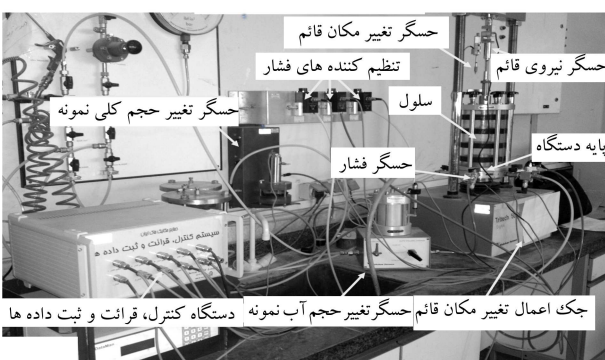
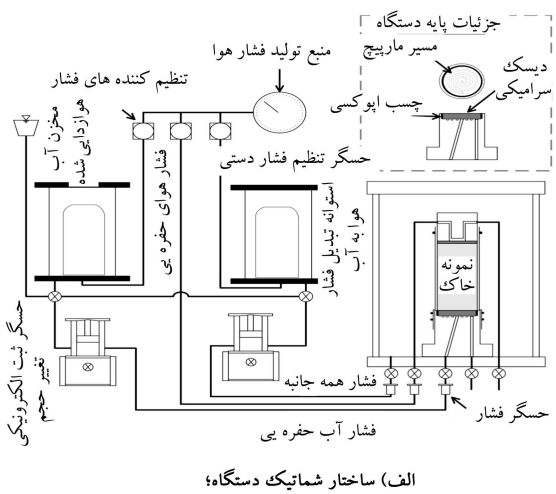
$$s = u_a - u_w \quad (2)$$

که در آنها، σ_1 ، σ_2 و σ_3 تنش های اصلی و p_n تنش خالص میانگین هستند. همچنین u_w و u_a به ترتیب فشار آب حفره بی و فشار هوای حفره بی است و s مقدار مکش ساختاری موجود در خاک را نشان می دهد.

۳. دستگاه سه محوری غیراشباع صنعتی شریف

در شکل ۱، دستگاه سه محوری غیراشباع ارتقاء یافته‌ی دانشگاه صنعتی شریف نشان داده شده است.^[۱۲] که در آن، قسمت الف، ساختار شماتیک دستگاه و قسمت ب، تصویر دستگاه موجود را نشان می دهد.

در دستگاه مذکور، کنترل مقدار مکش ساختاری با استفاده از روش انتقال محوری و با بهره‌گیری از یک قطعه سرامیک HAE با ظرفیت اعمال مکش ساختاری ۱۵۰° کیلوپاسکال که در پدستال سلول دستگاه تعیین شده است، صورت می‌گیرد. برای محسنهای تغییر حجم کلی نمونه و مقدار آب جذب شده با دفع شده از نمونه از دو دستگاه دیجیتالی ثبت تغییر حجم استفاده می‌شود. تغییرات حجم اجزاء سلول و شلنگ های رابط با مقادیر مختلف فشار قبل از انجام آزمایش ها، اندازه‌گیری و تصحیحات لازم در این خصوص لحاظ شده است. برای اعمال کنترل فشارهای



ب) تصویر دستگاه موجود در دانشگاه شریف.

شکل ۱. اجزای تشکیل دهنده دستگاه سه محوری غیر اشباع ساخته شده در دانشگاه شریف.

در بخش های مرکزی و شرقی ایران و توسعه‌ی شهرنشینی و افزایش ساخت و ساز در این مناطق، اهمیت بررسی دقیق رفتار خاک های مذکور را ایجاب می کند.

در پژوهشی در سال ۱۹۷۶ توسط فردلوند و مورگنسترن، متغیرهای مستقل تنش به منظور بررسی رفتار تغییر حجمی خاک های غیراشباع معرفی شد و بر طبق نظریه‌ی مذکور، رفتار مکانیکی خاک های غیراشباع با استفاده از دو متغیر مستقل تنش معرفی شد. این متغیرها عبارت اند از «تنش خالص میانگین» و «مکش ساختاری».^[۵] در سال ۱۹۹۰، نیز آلونسو و همکاران اولین مدل کشسان خمیری با نام Barcelona برای خاک های غیراشباع را پیشنهاد کردند که بر پایه‌ی تئوری سخت‌شوندگی خمیری بود و با معرفی سطوح تسیلیم متعدد در فضای مکش ساختاری، تنش خالص و حجم مخصوص، قابلیت پیش‌بینی سطوح حالت غیریکتا را داشت و می‌توانست رفتار تغییر حجمی و برشی خاک های غیراشباع را پیش‌بینی کند.^[۶] براساس نظریه‌ی مذکور با افزایش مکش ساختاری، قابلیت فشردنگی در خاک کاهش می‌یابد و بنا بر این عملکرد مدل معروفی شده برای خاک های معمولی و متور شونده مناسب است، اما نمی‌تواند پتانسیل کاهش حجم «خاک های فروریزشی» را در اثر ترشیدگی در مکش ساختاری مشخص تعیین کند و در نتیجه نمی‌تواند پتانسیل فروریزش را به درستی پیش‌بینی کند.^[۴] لذا در سال ۱۹۹۵، ویلار و سیواکومار با انجام اصلاحاتی بر روی چارچوب ارائه شده مدل اخیر، مدل رفتاری اصلاح شده جدیدی ارائه کردند که با استفاده از آن پیش‌بینی رفتار تغییر حجمی خاک ها بعد از وقوع تسیلیم دقت بالاتری یافت. مدل رفتاری مذکور عمدها برای خاک های معمولی یا متور شونده مناسب است و پیش‌بینی رفتار فروریزشی خاک ها بر پایه‌ی فرضیات این مدل نیاز به اعمال اصلاحاتی در فرضیات آن دارد.^[۷]

از آنجا که خاک های فروریزشی رفتاری خاص و متفاوت با خاک های متداول دارند، برای بررسی دقیق رفتار هم بسته هیدرومکانیکی آنها، مطالعات گستردگی بر روی آنها با استفاده از یک دستگاه سه محوری غیر اشباع ارتقاء یافته و دو دستگاه ادومتر غیر اشباع ساخته شده در دانشگاه صنعتی شریف ارائه شده است.^[۱۲-۸] در قسمتی از مطالعات ذکر شده، آزمایش های سه محوری غیر اشباع با کنترل مکش ساختاری بر روی نمونه های «دست‌نخورده» از خاک لس گرگان تحت دو مسیر بازگذاری شامل «اعمال مکش ساختاری ثابت و تنش خالص میانگین متغیر» و «اعمال تنش خالص میانگین ثابت و مکش ساختاری متغیر» انجام و نتایج آنها با توجه به مفهوم «تنش مؤثر در خاک های غیر اشباع» ارزیابی شده است.^[۱۲]

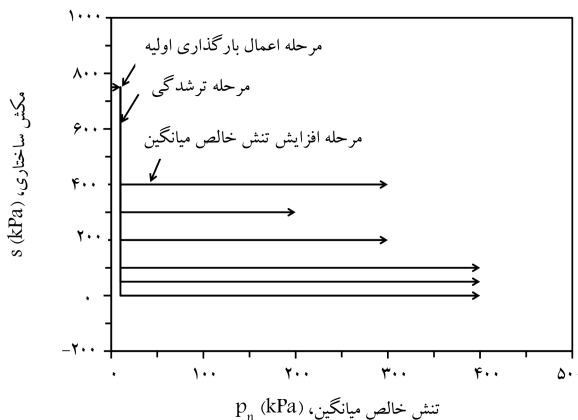
در نوشتار حاضر، با استفاده از نتایج آزمایش های پیشین،^[۱۲] رفتار تغییر حجمی خاک فروریزشی لس گرگان در مسیر «اعمال مکش ساختاری ثابت و تنش خالص میانگین متغیر» از یک دیدگاه متفاوت بررسی شده و با فرض وجود رفتار دو خطی در فضای تغییر حجم - تنش خالص میانگین (p_n - s)، تنش خالص میانگین تسیلیم در مکش های ساختاری مختلف به دست آمده است. با استفاده از مقادیر تنش های خالص میانگین در شرایط تسیلیم، منحنی بازگذاری - تسیلیم (LC) در فضای مکش ساختاری - تنش خالص میانگین ($s - p_n$) به دست آمده است که برای پیش‌بینی رفتار خاک های فروریزشی در شرایط اعمال مسیر تنش یا دشده مدنظر قرار گرفته و نتایج پیش‌بینی با استفاده از روش ذکر شده با نتایج آزمایشگاهی مقایسه و انطباق مناسبی مشاهده شده است.

۲. معرفی متغیرهای تنش در خاک

متغیرهای تنش مورد استفاده در نوشتار حاضر، با استفاده از روابط ۱ و ۲ تعریف شده‌اند:

جدول ۱. مشخصات و پارامترهای خاک لس گرگان.^[۱۴]

نوع خاک	(S_r)	درجی اشباع اولیه	درصد رطوبت اولیه	چگالی خشک نمونه‌ی	چگالی خشک نمونه‌ی دست نخورده	$\gamma_d (kN/m^3)$	$w_{\circ} (\%)$	دانه‌های خاک
لایی با حالت خمیری کم	۰/۲۵ ^۰ -۰/۲۶	۶/۹۲-۷/۲۹	۱۴/۹۸-۱۵/۱۲	۲/۷۲				



شکل ۲. روند انجام آزمایش‌های سه‌محوری مکش ساختاری ثابت - تنش خالص میانگین افزایشی.^[۱۴]

این خصوص لازم به ذکر است که تمام نمونه‌ها ابتدا تحت تنش همه‌جانبه 10° کیلوپاسکال و مکش ساختاری موردنظر آزمایش، به تعادل رسیده (مرحله‌ی اعمال بارگذاری اولیه و مرحله‌ی ترشیگی) و پس از آن با ثابت نگه داشتن مکش ساختاری، تنش خالص میانگین به صورت گام به گام افزایش داده شده است (مرحله‌ی افزایش تنش خالص میانگین).^[۱۴, ۱۵]

۵. مدل رفتاری

۵.۱. مدل رفتاری کشسان خمیری ویلر و سیواکومار

در سال 1995 ، ویلر^۱ و سیواکومار^۲ از داده‌های یک سری از آزمایش‌های سه‌محوری غیراشباع بر روی نمونه‌های بازسازی شده‌ی کائولن در جهت ارتقاء چارچوب قوانین حاکم بر رفتار خاک‌های غیراشباع استفاده کردند.^[۷] این چارچوب، بر مبنای 4 متغیر حالت، یعنی: تنش خالص میانگین (p_n)، تنش تفاضلی (q)، مکش ساختاری (s) و حجم مخصوص (v) تعریف شده است که بر این اساس منحنی تحکیم با کنترل مکش ساختاری، منحنی حالت بحرانی، و سطح تسليم برای خاک مورد آزمایش را مشخص می‌کند. براساس نظر ویلر و سیواکومار (1995)، برای حالتی از خاک که در داخل سطح تسليم قرار گیرد، رفتار کشسان فرض می‌شود؛ که با تغییر وضعیت حالت نمونه و حرکت به سمت خارج این مرز رفتار خمیری آغاز می‌شود و سطح تسليم نیز توسعه می‌یابد.

روند افزایش یا کاهش حجم مشاهده شده در اثر بارگذاری همه‌جانبه، به شکل سطح تسليم وابسته است. همان‌طور که در شکل 3 مشاهده می‌شود، با فرض معتبر بودن اصل جمع آثار قوا، تغییر حجم نمونه‌های تحت افزایش هم‌زمان تنش خالص میانگین و افزایش مکش ساختاری (مسیر AC) را می‌توان معادل مجموع تغییر حجم ناشی از مسیر افزایش مکش ساختاری در شرایط تنش خالص میانگین ثابت (مسیر AB) و تغییر حجم ناشی از بارگذاری مرتبط با افزایش تنش خالص میانگین در شرایط مکش ساختاری ثابت (مسیر BC) فرض کرد.

اعمالی به نمونه (شامل: فشار آب حفره‌ی و فشار هوای حفره‌ی) از 3 تنظیم کننده‌ی الکترونیکی و 3 حسگر الکترونیکی فشار استفاده می‌شود. داده‌های آزمایش به صورت منظم با استفاده از سیستم قرانت داده‌ها در توالی زمانی 3 ثانیه ثبت و ذخیره می‌شود.^[۱۴, ۱۵]

۴. آزمایش‌های سه‌محوری غیراشباع انجام شده

آزمایش‌های سه‌محوری غیراشباع بر روی نمونه‌های دست نخورده‌ی خاک لس اخذ شده از تپه‌های هزارپیچ واقع در شهر گرگان، در استان گلستان ایران انجام شده است. در این راستا، ابتدا نمونه‌های دست نخورده‌ی بلوکی از عمق 1 متری خاک با استفاده از جعبه‌هایی به ابعاد $30 \times 30 \times 30$ سانتی‌متر استخراج و پس از موم انود کردن به آزمایشگاه انتقال یافته و سپس با استفاده از یک سیستم جک و قاب فولادی، نمونه‌های آزمایشگاهی استوانه‌یی به قطر 50 میلی‌متر و ارتفاع 100 میلی‌متر از داخل جعبه‌ها اخذ شده است.

برای اخذ نمونه‌های صحرابی، ابتدا خاک سطحی به عمق حدود 1 متر کاملاً برداشته شده است. سپس جعبه‌ی نمونه‌گیر بر سطح صافی از زمین قرار گرفته و اطراف جعبه به فاصله‌ی 50 و 50 سانتی‌متر علامت‌گذاری شده است. حد فاصل محل علامت‌گذاری شده تا عمق 50 سانتی‌متر حفاری و پس از آن با قلردادن یک صفحه‌ی فلزی بر روی جعبه، با استفاده از یک چکش پلاستیکی بر صفحه‌ی فلزی و جداره‌ی جعبه، ضربات خفیفی وارد کرده و جعبه به آرامی داخل خاک فرو برده شده است. بعد از آنکه جعبه کاملاً درون خاک فرو رفت، خاک اطراف با اره بریده و با استفاده از یک سیم، جعبه از خاک زیر جدا شده است. به منظور جلوگیری از دست نخورده‌ی خاک، ابتدا پارافین ذوب شده روی سطح خاک جعبه ریخته و سپس پارچه‌ی تنظیف دورتا در جعبه قرار داده شده و در انتهای، مجدداً روی پارچه، پارافین ذوب شده ریخته شده است. همچنین به منظور تهیی نمونه‌های استوانه‌یی دست نخورده، از یک سیستم قاب فلزی و جک استفاده شده است. بدین صورت که نمونه‌ی جعبه‌یی بر روی صفحه‌ی بالایی جک قرار گرفته و در بالای نمونه‌ی جعبه‌یی، یک نمونه‌گیر استوانه‌یی قرار داده شده است. با بالا آمدن جک، نمونه‌گیر استوانه‌یی به داخل نمونه‌ی جعبه‌یی وارد و با بیرون کشیدن نمونه‌گیر استوانه‌یی و خاک اخذ شده از داخل آن، نمونه‌ی استوانه‌یی دست نخورده با طول دلخواه تهیی شده است.

مشخصات اولیه و پارامترهای فیزیکی مصالح مورد استفاده در آزمایش‌ها در جدول ۱ ارائه شده است.^[۱۴, ۱۵]

در پژوهش حاضر نتایج 6 آزمایش فشار همه‌جانبه از آزمایش‌های انجام شده تحت شرایط کنترل مکش ساختاری ثابت و تنش خالص میانگین متغیر با استفاده از دستگاه سه‌محوری غیراشباع،^[۱۴, ۱۵] با یک رویکرد جدید ارزیابی مجدد شده است. در این راستا، تغییرات حجم نمونه‌ها نسبت به تغییرات تنش خالص میانگین ترسیم و نقطه‌ی تسليم در مکش‌های ساختاری مختلف مشخص شده و در نتیجه، سطح تسليم خاک مورد مطالعه به دست آمد.

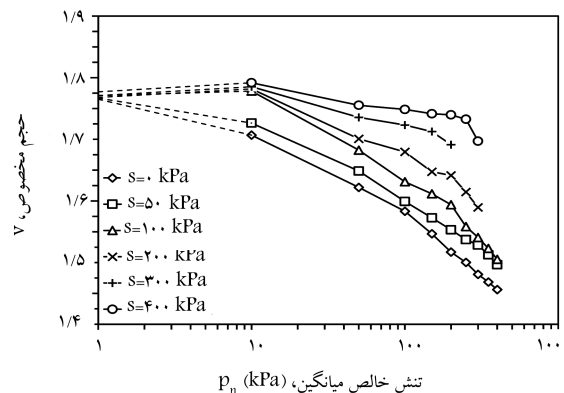
در شکل 2 ، مراحل بارگذاری به صورت شماتیک نشان داده شده است. در

۲.۵. بررسی نتایج آزمایش ها بر روی خاک لس گرگان و مدل رفتاری پیشنهادی برای خاک های فروریزشی

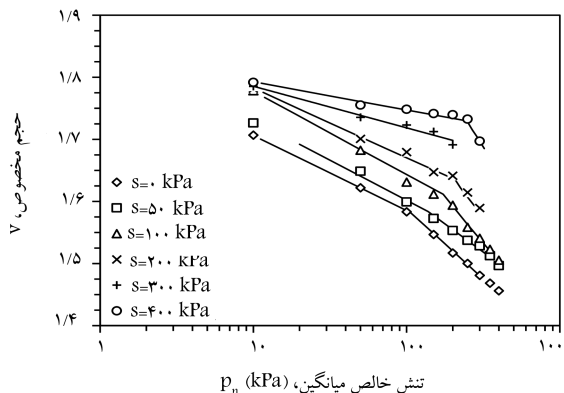
در بخش کنونی، از نتایج بدست آمده از آزمایش های انجام شده بر روی خاک لس گرگان، که مشخصات آن قبلاً ذکر شده است، ب ه منظور تعیین تنش خالص تسلیم، پارامترهای مرتبط با رابطه ۳ و درنهایت سطح بارگذاری - تسلیم (LC) استفاده شده است. به دلیل عدم پاسخ گویی مناسب مدل رفتاری ارائه شده ویلر و سیواکومار (۱۹۹۵) برای خاک مورد آزمایش، با توجه به ماهیت خاک فروریزشی مورد مطالعه، به منظور محاسبه پارامترهای مدل اصلاحاتی بر روی رابطه ۳ صورت گرفته است که در ادامه به آنها اشاره شده است.

۲.۵.۱. تنش خالص تسلیم

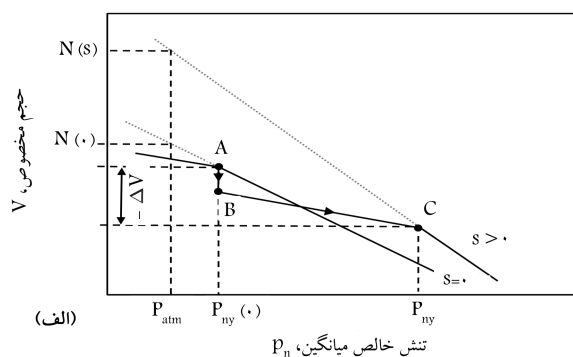
در شکل ۴، نمودار $\log(p_n) - \nu$ مربوط به آزمایش های تراکم همه جانبه تحت بارگذاری تنش خالص میانگین متغیر در مکش ساختاری ثابت ارائه شده است. خطوط نقطه چین بر روی شکل مذکور نشان دهنده مرحله ای شروع آزمایش تا به تعادل رسیدن نمونه ها تحت تنش خالص میانگین ۱۰ کیلوپاسکال از مکش ساختاری اولیه تا رسیدن به مکش ساختاری موردنظر آزمایش است. نمودارهای شکل ۴، در شکل ۵ به صورت دو خطی ساده سازی شده و مقدار تنش خالص میانگین محل برخورد دو خط ذکر شده، به عنوان تنش خالص جانبه خالص تسلیم (p_{ny}) در هر مکش ساختاری در نظر گرفته شده است. لازم به ذکر است که



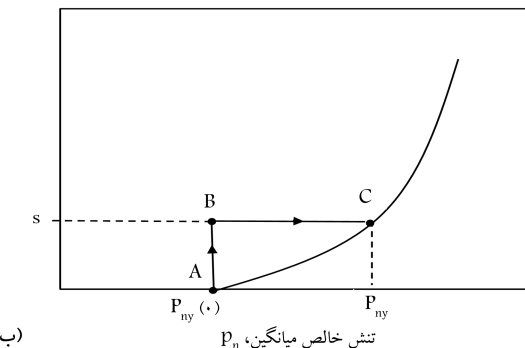
شکل ۴. نمودار تغییرات حجم بر حسب افزایش تنش خالص میانگین در مکش ساختاری ثابت.



شکل ۵. نمودار ساده سازی شده (دو خطی) تغییرات حجم بر حسب افزایش تنش خالص میانگین در مکش ساختاری ثابت.



(الف)



(ب)

شکل ۳. نحوه استخراج رابطه سطح بارگذاری - تسلیم (LC) - تسلیم

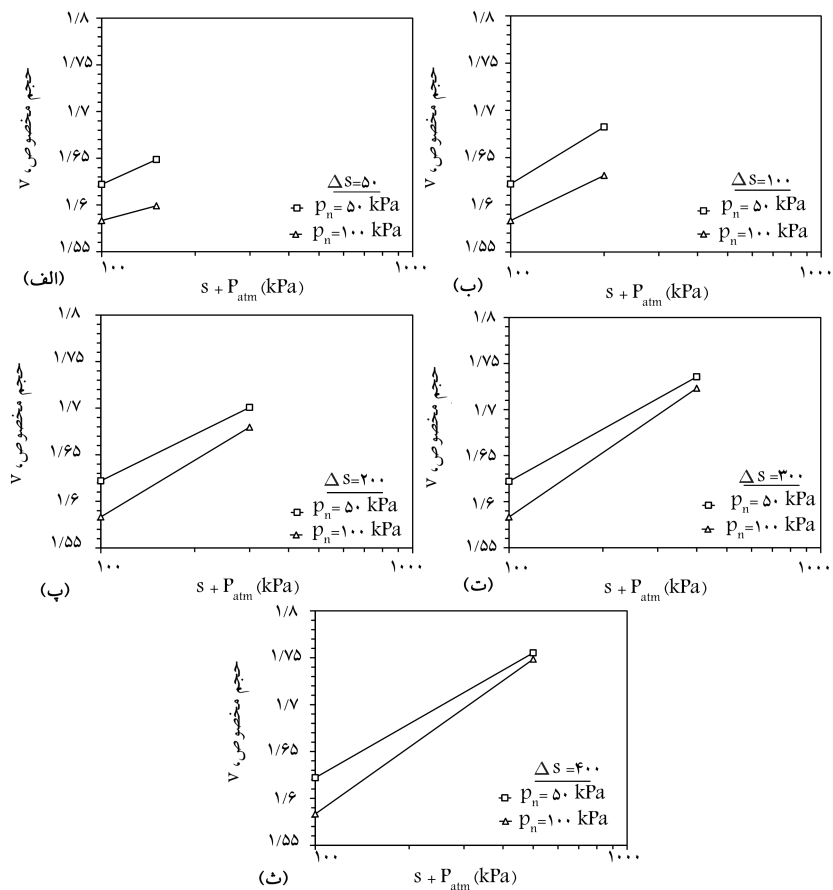
بنابراین با استفاده از فرض ذکر شده، رابطه $\nu - \log(p_n) = N(s) - N(0)$ که شکل ساده شده رابطه ای آلونسو و همکاران است،^[۶] به عنوان معادله منحنی بارگذاری - تسلیم (LC)، در فضای مکش ساختاری - تنش خالص میانگین ارائه شده است.

$$(\lambda(s) - \kappa) \ln\left(\frac{p_{ny}}{p_{atm}}\right) = (\lambda(0) - \kappa) \ln\left(\frac{p_{ny}(0)}{p_{atm}}\right) + N(s) - N(0) + \kappa_s \ln\left(\frac{s + p_{atm}}{p_{atm}}\right) \quad (3)$$

که در آن، $N(s)$ حجم اولیه نمونه تحت تنش خالص میانگین یک اتمسفر در مکش ساختاری s و $\lambda(s)$ ضریب قابلیت فشردگی و یا شیب نمودار $\nu - \log(p_n)$ در مکش ساختاری ثابت هستند که به صورت تابعی از مکش ساختاری تعریف می شوند. در همین راستا $N(0)$ و $\lambda(0)$ مقادیر این پارامترها در حالت مکش ساختاری صفر یا حالت اشباع هستند.

همچنین p_{ny} و $p_{ny}(0)$ به ترتیب تنش خالص تسلیم در مکش ساختاری s و در مکش ساختاری صفر (حالت اشباع) هستند و κ نیز به ترتیب شیب نمودار $\nu - \log(p_n)$ در حالت باربرداری یا بارگذاری مجدد فرض می شوند که به علت تغییرات بسیار کم تحت تغییرات تنش خالص میانگین و مکش ساختاری در خاک کائولینی استفاده شده در آزمایش های مرتبط، مقادیری ثابت و مستقل از دو متغیر حالت مذکور در نظر گرفته شده اند.

ویلر و سیواکومار (۱۹۹۵) در مطالعه ای خود نتیجه گرفتند که با افزایش مکش ساختاری در نمونه های خاک، مقدار تنش خالص تسلیم $\lambda(s)$ افزایش می یابد و پتانسیل تسلیم (پتانسیل تغییرات حجم نمونه در مکش ساختاری موردنظر تا حالت اشباع در شرایط تنش خالص میانگین ثابت) در تشن های میانی به بیشترین حالت خود می رسد و با افزایش مقدار تنش خالص میانگین، پتانسیل تسلیم در نمونه ها کم می شود.



شکل ۶. نمودار تغییرات حجم مخصوص بر حسب تغییرات مکش ساختاری استفاده شده در تعیین پارامتر κ برای مکش‌های ساختاری مختلف.

جدول ۲. پارامترهای مورد استفاده در رابطه ۴.

$s(kPa)$	$\kappa(s)$	$\lambda(s)$	$N(s)$	$\kappa_s(s)$	$p_{ny}(kPa)$
۰	۰,۰۵۲	۰,۰۹۸	۱,۰۹	-۰,۰۶۱	۱۰۵
۵۰	۰,۰۵۶	۰,۰۸۰	۱,۰۲	-۰,۰۶۱	۱۲۵
۱۰۰	۰,۰۵۸	۰,۱۳۰	۱,۰۸	-۰,۰۸۴	۱۷۳
۲۰۰	۰,۰۴۹	۰,۱۴۵	۱,۰۴	-۰,۰۸۳	۲۰۷
۳۰۰	۰,۰۲۹	۰,۱۶۰	۱,۰۲	-۰,۰۹۳	۲۲۰
۴۰۰	۰,۰۲۱	۰,۱۷۱	۱,۰۸	-۰,۰۹۸	۲۴۷

برای هر مکش ساختاری مشخص با استفاده از اختلاف تغییر حجم نمونه در مکش ساختاری موردنظر تاکشن ساختاری صفر و یا حالت اشباع (Δs) برای تنش‌های خالص میانگین ۵۰ و ۱۰۰ کیلوپاسکال به دست آمده است. لازم به ذکر است که به دلیل فضای لگاریتمی و عدم وجود جواب برای مکش ساختاری صفر در فضای مذکور، از فضای $s + p_{atm}$ استفاده شده است (شکل ۶). همان‌طور که قبلاً بیان شد، ویلر و سیواکومار [۱۹۹۵] پارامترهای κ و κ_s را برای خاک‌های کاتولینی مورد آزمایش ثابت به دست آورده و آنها را ثابت فرض کرده‌اند، در صورتی که در خاک لس مورد آزمایش مقادیر پارامترهای κ و κ_s به

تش خالص میانگین نمونه تحت مکش ساختاری ثابت ۳۰۰ کیلوپاسکال، به علم محدودیت‌های پیش آمده در زمان اعمال بار، فقط تا تش خالص میانگین ۲۰۰ کیلوپاسکال آزمایش شده است که تحت این شرایط در نمونه مورد آزمایش تسیلیم رخ نداده و پارامترهای $N(s)$ و $\lambda(s)$ و تش خالص تسیلیم (p_{ny}) در این مکش ساختاری با استفاده از درون‌بایی بین تنش‌های خالص تسیلیم در مکش‌های ساختاری ۲۰۰ و ۴۰۰ کیلوپاسکال به دست آمده است. همان‌طور که در شکل ۵ مشاهده می‌شود، نمونه‌هایی که تحت مکش ساختاری ثابت بیشتری آزمایش شده‌اند، مقدار تش خالص تسیلیم بزرگ‌تری را به دست داده‌اند. حال اگر مشخصات نقاط تسیلیم نمونه‌ها در فضای $(s - p_n)$ رسم شود، منحنی بارگذاری - تسیلیم به دست می‌آید.^[۶]

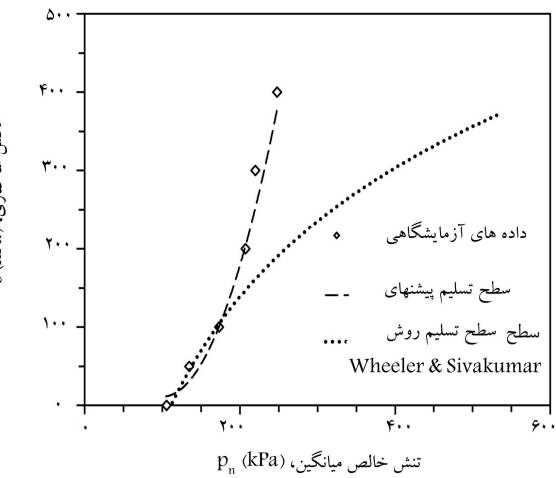
با استفاده از اطلاعات نمودارهای ارائه شده در شکل ۵، پارامترهای مورد استفاده در رابطه ۴ که فرم اصلاح شده رابطه ۳ برای خاک‌های فروبریشی هستند، در تش‌های خالص تسیلیم به دست آمده و در جدول ۲ خلاصه‌بی از آن‌ها ارائه شده است.

$$(\lambda(s) - \kappa(s)) \ln\left(\frac{p_{ny}}{p_{atm}}\right) = (\lambda(0) - \kappa(0)) \ln\left(\frac{p_{ny}(0)}{p_{atm}}\right) + N(s) - N(0) + \kappa_s(s) \ln\left(\frac{s + p_{atm}}{p_{atm}}\right) \quad (4)$$

در پژوهش حاضر، برای تعیین پارامتر κ نتایج آزمایش‌ها در فضای $\log(s + p_{atm})$

حاضر انجام شده است، مطابق شکل ۷، سطح تسلیم حاصل از آزمایش های انجام شده و همچنین سطح تسلیم به دست آمده از رابطه ۴ تطبیق خوبی با هم پیدا کرده اند.

با توجه به سطح تسلیم به دست آمده در شکل ۷ و تعاریف موجود، می توان رفتار خاک های فروریزشی را تحت مسیر تنفس خالص میانگین افزایشی در مکش ساختاری ثابت پیش بینی کرد. به این صورت که در مکش ساختاری ثابت با افزایش تنفس خالص میانگین تا سطح تسلیم به دست آمده، تغییر شکل های بزرگی در نمونه ها مشاهده می شود و با رسیدن به سطح تسلیم، تغییر شکل های خاک در ناحیه ای در خاک ایجاد می شود. لازم به ذکر است که تغییر شکل های خاک در ناحیه ای مذکور از نوع خمیری است. همچنین با افزایش مکش ساختاری، تنفس خالص تسلیم افزایش می یابد، ولی با قرار گرفتن خاک در مکش های ساختاری زیاد (از مکش ساختاری ۲۰۰ کیلوپاسکال تا مکش ساختاری ۴۰۰ کیلوپاسکال) تنفس تسلیم تغییر زیادی نمی کند که نشان دهنده تأثیر کم مکش ساختاری در سطح تسلیم در مکش های ساختاری زیاد در خاک های ساختاری نظری لس به دلیل سختی باندهای بین ذرات آنها در شرایط خشک تا نیمه خشک است.



شکل ۷. سطح بارگذاری - تسلیم (LC) خاک فروریزشی تحت بارگذاری مکش ساختاری ثابت - تنفس خالص میانگین مقایسه سطح پیشنهادی (رابطه ۴) و روش ویلر و سیوا کومار،^[۷] (رابطه ۳).

دلیل ماهیت فروریزشی خاک ذکر شده، تابعی از متغیر حالت مکش ساختاری^۸ هستند. به همین دلیل در پژوهش حاضر به ازاء هر مکش ساختاری ثابت، σ_{n_0} و s_{n_0} به صورت جداگانه محاسبه و نتایج آن در شکل ۶ نشان داده شده است. مشاهده می شود که با افزایش مکش ساختاری، قدر مطلق s_n نیز افزایش یافته است که دلالت بر حساسیت تغییر حجم نمونه های خاک فروریزشی آزمایش شده به تغییرات مکش ساختاری دارد. همچنین مشاهده شده است که مقدار s_n از حالت اشباع تا مکش ساختاری ۲۰۰ کیلوپاسکال تقریباً یکسان است؛ ولی با افزایش مکش ساختاری از مقدار ۲۰۰ کیلوپاسکال، مقدار s_n کاهش یافته است که به دلیل قوی تر بودن پیوندهای بین دانه های خاک مذکور در مکش های ساختاری زیاد و کاهش تغییرات حجمی آن در مکش های بیشتر است.

۶. نتیجه گیری

در نوشتار حاضر، با بررسی رفتار تغییر حجمی نمونه های دست نخوردۀ لس گرگان تحت تنفس خالص میانگین متغیر در مکش ساختاری ثابت و با ایده‌گرftن از مدل رفتاری پیشنهادی ویلر و سیوا کومار^[۷] مدل رفتاری اصلاح شده جدیدی برای خاک های فروریزشی با درنظر گرفتن اصلاحات موردنیاز در قالب منحنی بارگذاری - تسلیم (LC) ارائه و با نتایج حاصل از آزمایش های انجام شده بر روی خاک مذکور مقایسه شده است. با توجه به مطالب بیان شده در نوشتار حاضر، به طور کلی می توان این نتایج را بیان کرد:

- در خاک فروریزشی آزمایش شده، با افزایش مکش ساختاری، مقدار تنفس تسلیم و شبیه منحنی های بارگذاری بعد از تنفس تسلیم (۱) افزایش می یابد. همچنین پارامترهای n_0 و s_{n_0} مقادیر ثابتی نیستند و تابعی از مکش ساختاری موجود در خاک هستند. بنابراین مقادیر آنها به صورت جداگانه در هر سطح مکش ساختاری محاسبه و تعیین شده و رابطه پیشنهادی ویلر و سیوا کومار،^[۷] اصلاح و به شکل رابطه بی جدید (رابطه ۴) برای خاک های فروریزشی پیشنهاد شده است.
- مقدار n_0 در محدوده های مکش های ساختاری زیاد کاهش می یابد که به دلیل قوی بودن پیوندهای بین دانه های و کم شدن تغییرات حجمی نمونه ها با افزایش بارگذاری در سطح مکش ساختاری بالاست.
- رفتار خاک های فروریزشی در اثر ترشیگی، در محدوده های تنفس خالص میانگین کم و قبل از تنفس خالص تسلیم تقریباً کشسان است، ولی با کاهش حجم همراه است. بنابراین برخلاف پیشنهاد ویلر و سیوا کومار،^[۷] مقدار پارامتر n_0 ثابت نیست و علامت آن نیز منفی است.
- سطح تسلیم حاصل از نتایج آزمایشگاهی با سطح تسلیم پیش بینی شده با استفاده از روش پیشنهادی در نوشتار حاضر تطبیق خوبی دارد و این روش و استفاده از رابطه ۴ برای خاک های فروریزشی پیشنهاد می شود.

۲.۲.۵. سطح بارگذاری - تسلیم (LC)

همان طور که قبلاً بیان شد، با رسم نقاط تسلیم نمونه ها در فضای $(s - p_n)$ ، سطح بارگذاری - تسلیم (LC) به دست می آید.^[۸] با توجه به اصلاحاتی که در تعیین پارامترهای موردنیاز براساس ماهیت خاک فروریزشی مورد استفاده در پژوهش

پابنوهات ها

1. Wheeler
2. Sivakumar

منابع (References)

1. El Howayek, A., Huang, P. and Santaga, M. "Identification and behavior of collapsible soils", Joint Transportation Research Program Technical Report Series (2011).
2. Rogers, C.D.F., *Types and Distribution of Collapsible Soils in Genesis and Properties of Collapsible Soil*, Kluwer Academic Publishers, E. Derbyshire et al., pp. 1-17 (1995).
3. Barden, L., McGown, A. and Collins, K. "The collapse mechanisms in partly saturated soils", *Engineering Geology*, **7**(1), pp. 49-60 (1973).
4. Mitchell, J.K. *Fundamentals of Soils Behavior*, John Wiley & Sons, New York, N.Y., pp. 222-252 (1976).
5. Fredlund, D.G. and Morgenstern, N.R. "Stress state variable for unsaturated soil", *Journal of the Soil Mechanics and Foundations Division*, ASCE, **103**(GT5), pp. 447-466 (1976).
6. Alonso, E.E., Gens, A. and Josa, A. "A constitutive model for partially saturated soils", *Geotechnique*, **40**(3), pp. 405-430 (1990).
7. Wheeler, S.J. and Sivakumar, V. "An elasto-plastic critical state framework for unsaturated soil", *Geotechnique*, **45**(1), pp. 35-54 (1995).
8. Haeri, S.M., Zamani, A. and Garakani, A.A. "Collapse potential and permeability of undisturbed and remolded loessial soil samples", *Unsaturated Soils: Research and Applications*, pp. 301-308 (2012a).
9. Haeri, S.M. and Garakani, A.A. "The variation of total volume change, water volume change, yielding net confining stress and shear strength of undisturbed unsaturated loess under isotropic compression", *Unsaturated Soils: Research and Applications*, pp. 293-300 (2012b).
10. Haeri, S.M., Khorshidi M. and Akbari Garakani A. "Variation of the volume change and water content of undisturbed loessial samples in controlled matric suction odometer tests", *4th International Conference on Problematic Soils*, Wuhan, China (2012c).
11. Haeri, S.M., Khosravi, A. and Ghazizadeh, S. "The measurement of suction stress characteristic curve for a highly collapsible loessial soil", IFCEE2015, San Antonio, Texas, USA (2015).
12. Garakani, A.A., Haeri, S.M., Khosravi, A. and Habibagahi, G. "Hydro-mechanical behavior of undisturbed loessial soil under different stress state conditions", *Engineering Geology*, **195**, pp. 28-41 (2015).
13. Garakani, A.A. "Laboratory assessment of the hydro-mechanical behavior of unsaturated undisturbed collapsible soils-case study: Gorgan loess", Dissertation submitted for partial fulfillment of Ph.D. degree, Department of Civil Engineering, Sharif University of Technology, Tehran, Iran (2013).
14. Haeri, S.M., Garakani, A.A., Khosravi, A. and Mihan, L.C. "Assessing the hydro-mechanical behavior of collapsible soils using a modified triaxial test device", *Geotechnical Testing Journal*, **37**(2), pp. 1-15 (2014).